Modèles de matière noire supersymétrique: gravitino, neutralino, sneutrino et extra-dimension

David Gherson

Laboratoire de Physique Théorique et Astroparticules (Montpellier)

14/03/2008



Cosmologie

 Distribution de matière et d'énergie homogène et isotrope : métrique de RW

$$ds^{2} = dt^{2} - a^{2}(t)\left[\frac{dr^{2}}{1 - k r^{2}} + r^{2} d\theta^{2} + r^{2} \sin^{2}\theta d\Phi^{2}\right]$$

Conclusions

• Equation de Friedman :

$$\frac{\dot{a}^2}{a^2} + \frac{k}{a^2} = \frac{8\pi}{3} \frac{G}{3} \rho$$

- $\Omega=\rho/\rho_c$; $H=\frac{\dot{a}}{a}$; $\rho_c=\frac{3}{8\pi}\frac{H^2}{G}$ Friedman: $\frac{k}{H^2}\frac{1}{a^2}=\frac{\rho}{\rho_c}=\Omega-1$
- Univers plat pour k = 0: c'est le cas aujourd'hui et après l'inflation.
- Après le Big-Bang et durant 300 000 ans : Densité d'énergie de l'Univers dominée par la radiation.

Inflation

- Dilatation supra lumineuse de l'espace.
- Modèle : champ scalaire dont la densité d'énergie potentielle reste constante pendant un certain temps (slow-roll) : cette énergie du vide domine la densité d'énergie de l'Univers.
- Provoque une expansion formidable (cf Friedman : H^2 constant implique $a(t) \propto \exp H\Delta t$ (On pose $N = H\Delta t$))
- Après cette expansion, tout est dilué. Puis le champ inflationnaire se désintègre en champs plus légers : augmentation de l'entropie. L'Univers se réchauffe : c'est le Reheating.

Motivations

- Dilution de reliques inobservées ou indésirables (ex : gravitino)
- Explique la platitude de l'Univers (k=0) : en effet, dans Friedman, le terme $\frac{k}{a^2}$ devient négligeable.
- Résout le problème de l'horizon pour N > 55.
- Fluctuations quantiques du champ inflationnaire : explique les fluctuations de densité.

Matière noire, énergie noire

- 25 % de matière noire. Si R-parité conservée, la particule supersymétrique la plus légère est stable. Plusieurs candidats dans le cadre des théories supersymétriques : neutralinos, gravitinos, axinos, sneutrinos...
- 70 % d'énergie noire : provoque l'accélération de l'Univers.
 Constante cosmologique ou quintessence.

Supersymétrie

- La supersymétrie associe aux bosons des fermions et aux fermions des bosons.
- Extension de l'algèbre de Poincaré.
- Permet de résoudre le problème de la hiérarchie.
- Fournit un candidat pour la matière noire (Lightest Supersymmetric Particle) par la conservation de la R-parité.
- Permet une unification des couplages de jauge.



Supergravité

- La supergravité est la supersymétrie locale.
- Rendre locale les transformations de supersymétrie donne la supergravité. La gravité apparaît naturellement car l'algèbre de la supersymétrie contient les transformations de Poincaré donc les transformations d'espace-temps.
- La supergravité : théorie non renormalisable. Remise «au goût du jour» comme théorie effective des théories de supercordes.
- Couple graviton (spin 2) / gravitino (spin 3/2)
- Le gravitino est la particule de jauge de la symétrie de jauge appelée supersymétrie.



Quelques mots sur la Supersymétrie Supergravité Le gravitino Interaction du gravitino avec le MSSM

Le gravitino

$$\psi^{\mu}=\left(egin{array}{c} \psi_{1}^{\mu}\ \psi_{2}^{\mu}\ \psi_{3}^{\mu}\ \psi_{4}^{\mu} \end{array}
ight)$$

- Le gravitino est un vecteur de Lorentz. Chacune des composantes peut être décrite par un spineur de Dirac.
- Il possède 8 degrés de liberté car il doit vérifier les équations de Rarita-Schwinger :

$$\gamma^{\mu}\psi_{\mu} = 0,$$

$$(i\partial - m_{3/2})\psi_{\mu} = 0.$$

Termes pertinents d'interaction

Couplage du gravitino avec le supercourant :

$$\mathcal{L}_{\psi J} = -\frac{1}{\sqrt{2}M} \tilde{\mathcal{D}}_{\nu} \phi^{*i} \overline{\psi}_{\mu} \gamma^{\nu} \gamma^{\mu} \chi_{R}^{i} - \frac{1}{\sqrt{2}M} \tilde{\mathcal{D}}_{\nu} \phi^{i} \overline{\chi}_{L}^{i} \gamma^{\mu} \gamma^{\nu} \psi_{\mu} - \frac{i}{8M} \overline{\psi}_{\mu} [\gamma^{\nu}, \gamma^{\rho}] \gamma^{\mu} \lambda^{(a)} F_{\nu\rho}^{(a)}.$$

Les indices i, j,... representent les espèces des multiplets chiraux et (a), (b),... sont les indices pour la représentation adjointe des groupes de jauge.

M est la masse de Planck réduite.



Quelques mots sur la Supersymétrie Supergravité Le gravitino Interaction du gravitino avec le MSSM Le gravitino et ses ennuis avec la cosmologie

Le gravitino et ses ennuis avec la cosmologie

- Si le gravitino n'est pas le LSP: sa durée de vie est longue (d'une seconde à 10⁸ secondes pour des masses de 20 TeV à 200 GeV).
- Conséquences : perturbe la nucléosynthèse primordiale qui commence entre $t > 10^{-2}$ seconde et 1 seconde.
- Contrainte sur la masse et l'abondance des gravitinos.
- Contrainte sur la température de reheating car l'abondance des gravitinos est pratiquement proportionnelle à cette température. Entre 10⁵ GeV et 10⁸ GeV.
- Or la Baryogenèse via Leptogenèse nécessite une température de reheating > 10⁸ GeV..



Les processus

Gravitinos produits par collisions inélastiques dans le bain thermique après l'Inflation.

Sections efficaces différentielles

$$\begin{array}{|c|c|c|c|c|} & \text{processus } i & |\mathcal{M}_{i}|^{2}/\frac{g^{2}}{M^{2}}\left(1+\frac{m_{\tilde{g}}^{2}}{3m_{\tilde{G}}^{2}}\right) \\ & \text{A} & g^{a}+g^{b}\to \tilde{g}^{c}+\tilde{G} \\ & \text{B} & g^{a}+\tilde{g}^{b}\to g^{c}+\tilde{G} \\ & G & \tilde{q}_{i}+g^{a}\to q_{j}+\tilde{G} \\ & G & \tilde{q}_{i}+g^{a}\to q_{j}+\tilde{G} \\ & E & \bar{q}_{i}+q_{j}\to g^{a}+\tilde{G} \\ & E & \bar{q}_{i}+q_{j}\to g^{a}+\tilde{G} \\ & G & q_{i}+\tilde{g}^{a}\to q_{j}+\tilde{G} \\ & G & q_{i}+\tilde{g}^{a}\to q_{j}+\tilde{G} \\ & H & \tilde{q}_{i}+\tilde{q}_{j}\to \tilde{g}^{a}+\tilde{G} \\ & I & q_{i}+\bar{q}_{j}\to \tilde{g}^{a}+\tilde{G} \\ & J & \tilde{q}_{i}+\tilde{q}_{j}\to \tilde{g}^{a}+\tilde{G} \\ & G & q_{i}+\tilde{q}_{j}\to \tilde{g}^{a}+\tilde{G} \\ & I & q_{i}+\bar{q}_{j}\to \tilde{g}^{a}+\tilde{G} \\ & I & q_{i}+\bar{q}_{j}\to \tilde{g}^{a}+\tilde{G} \\ & I & q_{i}+\tilde{q}_{j}\to \tilde{g}^{a}+\tilde{G} \\ & I & q_{i}+\tilde{q}_{i}\to \tilde{g}^{a}+\tilde{G} \\ & I & q_{i}+\tilde{g}^{a}\to \tilde{g}^{a}\to \tilde{g}^{a}\to \tilde{g}^{a}+\tilde{g}^{a}\to \tilde{g}^{a} \\ & I & q_{i}+\tilde{g}^{a}\to \tilde{g}^{a}\to \tilde{g}^{a}\to \tilde{g}^{a} \\ &$$

L'équation de Boltzmann pour les gravitinos

$$\frac{dn_{3/2}}{dt} + 3Hn_{3/2} = \langle \sigma_{\text{tot}} v_{\text{rel}} \rangle n_{\text{rad}}^2 = C_G$$

L'entropie est conservée dans un «comoving volume» pour T plus bas que T_R . On pose :

$$Y_{3/2}\equiv\frac{n_{3/2}}{s}$$

où s est la densité d'entropie

$$s = \frac{2\pi^2}{45} g_{*S} T^3$$



Les processus de production **L'équation de Boltzmann** C_G pour un gravitino de masse négligeable Résultat pour l'abondance Abondance pour des masses non négligeable

On obtient:

$$s \frac{dY}{dt} = C_G = \langle \sigma_{\text{tot}} v_{\text{rel}} \rangle n_{\text{rad}}^2$$

En utilisant:

$$t = \frac{1}{2} \sqrt{\frac{90M^2}{g_* \pi^2}} T^{-2}.$$

En utilisant aussi la relation suivante :

$$H = \sqrt{\frac{g_*\pi^2}{90M^2}} T^2$$

On obtient:

$$\mathsf{Y}_{3/2} = rac{45 \zeta(3)}{2\pi^4} \left[rac{\langle \sigma_{
m tot} v_{
m rel}
angle n_{
m rad}}{g_{st \mathcal{S}} H}
ight]_{T=T_{
m R}}.$$



$$C_G(T) = \int rac{d^3p}{(2\pi)^3} n_F(E) \left(\Gamma_{\tilde{G}}^{ ext{soft}}(E) + \Gamma_{\tilde{G}}^{ ext{hard}}(E)
ight)$$

On calcule la self energie. Théorème optique. La partie dite «soft» : pour les boucles d'impulsion $< k_{cut}$ et la partie dite «hard» : pour les boucles d'impulsion $> k_{cut}$. La somme élimine les termes dépendants de la coupure k_{cut} .

Pour la partie soft : une masse thermique est donnée au gluon et on calcule la self-énergie de laquelle on tire le taux de production soft. Pour la partie hard : le calcul se fait à partir des processus $2 \to 2$ avec la coupure k_{cut} sur les impulsions.

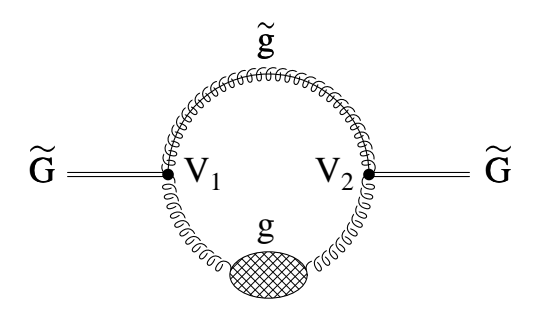


Fig.: Boucle Gluon-gluino. Contribution principale à la self-energie du gravitino; le blob sur la ligne du gluon représente le propagateur re-sommé du gluon en tenant compte des effets thermiques.

Les termes $m_{\tilde{q}}^2/T^2$ sont négligeables par rapport aux termes $m_{\tilde{g}}/T$.

Partie Soft

$$\Gamma_{\tilde{G}}^{\text{soft}}(E) = (1 + \frac{m_{\tilde{g}}^2}{3m_{\tilde{G}}^2})3\frac{(N^2 - 1)m_g^2T}{4\pi M^2} \left[\ln\left(\frac{k_{\text{cut}}^2}{m_g^2}\right) - 1.379 \right].$$

Avec:

$$m_g^2 = \frac{g^2 T^2}{6} (N + n_f)$$

Partie Soft

$$C_{G}^{\text{soft}}(T) = \int 4\pi E^{2} \frac{dE}{(2\pi)^{3}} n_{F}(E) \Gamma_{\tilde{G}}^{\text{soft}}$$

$$= \Gamma_{\tilde{G}}^{\text{soft}} \int 4\pi E^{2} \frac{dE}{(2\pi)^{3}} n_{F}(E)$$

$$= \frac{3}{2} \zeta(3) \frac{1}{2\pi^{2}} T^{3} \Gamma_{\tilde{G}}^{\text{soft}}$$

Partie Hard

$$C_{G}^{\text{hard}}(T) = \int \frac{d^{3}p}{(2\pi)^{3}} n_{F}(E) \Gamma_{\tilde{G}}^{\text{hard}}(E)$$

$$= \left(1 + \frac{m_{\tilde{g}}^{2}}{3m_{\tilde{G}}^{2}}\right) \frac{3\zeta(3)g^{2}(N^{2} - 1)T^{6}}{32\pi^{3}M^{2}}$$

$$\times \left\{ (N + n_{f}) \left[\ln \left(\frac{T^{2}}{k_{\text{cut}}^{2}}\right) + 1.7014 \right] + 0.5781n_{f} \right\},$$

Résultat pour C_G

$$C_{\tilde{G}}(T) = \int \frac{d^{3}p}{(2\pi)^{3}} n_{F}(E) \left(\Gamma_{\tilde{G}}^{\text{soft}}(E) + \Gamma_{\tilde{G}}^{\text{hard}}(E) \right)$$

$$= \left(1 + \frac{m_{\tilde{g}}^{2}}{3m_{\tilde{G}}^{2}} \right) \frac{3\zeta(3)g^{2}(N^{2} - 1)T^{6}}{32\pi^{3}M^{2}}$$

$$\left\{ \left[\ln \left(\frac{T^{2}}{m_{g}^{2}} \right) + 0.3224 \right] (N + n_{f}) + 0.5781n_{f} \right\}.$$

Abondance

$$\langle \sigma_{\text{tot}} V_{\text{rel}} \rangle = \left[1 + \left(\frac{m_{\tilde{g}}^2}{3m_{3/2}^2} \right) \right] \frac{3g^2(N^2 - 1)}{32\pi M^2}$$

$$\times \frac{\pi^2}{\zeta(3)} \left\{ \left[\ln(T^2/m_{g,\text{th}}^2) + 0.3224 \right] (N + n_{\text{f}}) + 0.5781 n_{\text{f}} \right\}$$

Abondance

$$\begin{array}{lcl} Y_{3/2} & \simeq & 1.9 \times 10^{-12} \\ & \times \left(\frac{T_R}{10^{10} \; \mathrm{GeV}}\right) \left[1 + 0.045 \, \mathrm{ln} \left(\frac{T_R}{10^{10} \; \mathrm{GeV}}\right)\right] \\ & \left[1 - 0.028 \, \mathrm{ln} \left(\frac{T_R}{10^{10} \; \mathrm{GeV}}\right)\right] \, . \end{array}$$

Les processus de production L'équation de Boltzmann C_G pour un gravitino de masse négligeable Résultat pour l'abondance Abondance pour des masses non négligeables

Terme de collision pour des masses non négligeables

$$C_{G}(T) = \int_{m} \frac{4\pi}{(2\pi)^{3}} E^{2} \sqrt{1 - \frac{m^{2}}{E^{2}}} n_{F}(E) dE \left(\Gamma_{\tilde{G}}^{\text{soft}}(E) + \Gamma_{\tilde{G}}^{\text{hard}}(E)\right)$$

Les processus de production L'équation de Boltzmann C_G pour un gravitino de masse négligeable Résultat pour l'abondance Abondance pour des masses non négligeables

Approximation : cas d'une tour de Kaluza-Klein

$$egin{aligned} Y_{3/2}^k &= Y_{3/2}^0 \;, & ext{pour } M^k \leq \mathcal{T}_R \quad \text{et} \ Y_{3/2}^k &= 0 \;, & ext{pour } M^k > \mathcal{T}_R \end{aligned}$$

- Supergravité à 5 dim avec champs de supergravité dans le bulk. Graviphoton pas pris en compte.
- Vue de 4 d, présence d'excitations de KK.
- Dimension compacte de géométrie S¹/Z₂. Deux points fixes : membranes. Matière et champs de jauge sur une membrane.
- Choix de $T_R > 10^5$ GeV.



Le modèle
Interactions entre KK gravitinos et MSSM
Abondance des KK modes
Neutralinos et désintégration des KK gravitinos
Valeurs numériques et équations de contrainte
Régultats

- Neutralino le plus léger : LSP. Neutralino : matière noire.
- Un gravitino de Kaluza-Klein donne en bout de chaîne de désintégration au moins un neutralino.
- Le mode le plus léger ou mode 0 a une masse calculée pour éviter de perturber la BBN.
- Cette masse est 26, 4 TeV. Cette masse de gravitino nous place dans un scénario de brisure de susy médiée par les anomalies ou hybride: anomalies + Scherk-Schwarz.



Le modèle Interactions entre KK gravitinos et MSSM Abondance des KK modes Neutralinos et désintégration des KK gravitinos Valeurs numériques et équations de contrainte

- La matière noire : composée d'une quantité thermique et d'une quantité non thermique provenant de la désintégration de gravitinos.
- On fixe la quantité thermique et on calcule la quantité non thermique qu'il faut pour compléter.
- On ne compte que les modes de gravitinos qui se désintègrent après le découplage thermique du neutralino (freeze-out) car les modes de gravitino plus lourds qui se désintègrent tant que le neutralino est à l'équilibre thermique n'accroissent pas la quantité de neutralinos. Seconde coupure sur la tour de Kaluza-Klein après celle fournie par l'abondance.

- La quantité non thermique de neutralinos dépend du nombre de modes pris en compte qui dépend du rayon de la dimension supplémentaire. Elle dépend aussi de la température T_R de reheating par le biais de l'abondance de chaque mode.
- Conséquence : courbes de contraintes entre R^{-1} et T_R .

Le modèle
Interactions entre KK gravitinos et MSSM
Abondance des KK modes
Neutralinos et désintégration des KK gravitinos
Valeurs numériques et équations de contrainte
Résultats

Pourquoi 5D?

- Dualité entre les 5 théories de supercordes (10 d).
- Implique l'existence d'une théorie à 11d à couplage fort : la M-théorie.
- Sa version effective basse énergie : supergravité 11d : deux membranes 10 d et une dimension compacte entre.
- 11 ème dimension plus grande que les autres pour unification des 4 forces.
- Implique qu'à un stade énergétique intermédiaire, l'Univers apparaisse comme deux membranes à 4 d séparée par 1 dimension compacte.
- Cadre géométrique pour la brisure de susy.
 - Brisure de susy nécessite un secteur caché pour donner une masse au jauginos : secteur caché : membrane miroir.



Supergravité à 5 D

- $M_4^2 = \pi R M_5^3$
- $R = \frac{r}{M_5}$ rayon physique
- r est une constante indéterminée et $M_5 = \kappa^{-1}$.
- Deux membranes localisées en $x^5 = 0$ et $x^5 = \pi \kappa$.
- Dans notre modèle, les champs de matière et de jauge vivent sur la brane : pas de dépendance en x⁵.
- Deux gravitinos (N = 2) dans le formalisme à 4D : l'un pair sous Z_2 , l'autre impair.
- N = 2 brisée en N = 1 sur les membranes.



Conclusions

Supergravité à 5 D

Pour le champ pair :

$$\psi_{\mu}^{\text{even}}(\mathbf{x}^{\lambda}, \mathbf{x}^{5}) = \frac{1}{\sqrt{\pi r}} \times \left[\psi_{0,\mu}^{\text{even}}(\mathbf{x}^{\lambda}) + \sqrt{2} \sum_{n=1}^{\infty} \psi_{n,\mu}^{\text{even}}(\mathbf{x}^{\lambda}) \cos(nM_{5}\mathbf{x}^{5}) \right]$$

et pour le champ impair :

$$\psi_{\mu}^{\mathrm{odd}}(x^{\lambda}, x^{5}) = \frac{\sqrt{2}}{\sqrt{\pi r}} \sum_{n=1}^{\infty} \psi_{n,\mu}^{\mathrm{odd}}(x^{\lambda}) \sin(nM_{5}x^{5})$$



Conclusions

L'action

$$\begin{split} S &= \kappa \int d^4x \int_{-\pi\kappa}^{\pi\kappa} dx^5 \, \delta(x^5) (-\frac{1}{\sqrt{2}} e g_{ij^*} \tilde{\mathcal{D}}_{\nu} \phi^{*j} \chi^i \sigma^{\mu} \bar{\sigma}^{\nu} \psi_{\mu}(x^{\lambda}, x^5) \\ &- \frac{1}{\sqrt{2}} e g_{ij^*} \tilde{\mathcal{D}}_{\nu} \phi^i \overline{\chi}^j \bar{\sigma}^{\mu} \sigma^{\nu} \overline{\psi}_{\mu}(x^{\lambda}, x^5) \\ &- \frac{i}{2} e \left(\psi_{\mu}(x^{\lambda}, x^5) \sigma^{\nu\rho} \sigma^{\mu} \overline{\lambda}_{(a)} + \overline{\psi}_{\mu}(x^{\lambda}, x^5) \bar{\sigma}^{\nu\rho} \bar{\sigma}^{\mu} \lambda_{(a)} \right) F_{\nu\rho}^{(a)}) \end{split}$$

Le Lagrangien à 4D

On redéfinit les champs :

$$\psi_{n,\mu} = \frac{\psi_{n,\mu}^{\text{even}} + \psi_{n,\mu}^{\text{odd}}}{\sqrt{2}}, \text{ pour } n > 0$$

$$\psi_{0,\mu} = \psi_{0,\mu}^{\text{even}}$$

Le Lagrangien à 4D

On intègre sur la cinquième dimension, on obtient :

$$egin{aligned} \mathcal{L}_{interKK}^{4d} &= \sum_{n=0}^{\infty} (-rac{1}{\sqrt{2}M} \mathrm{e} g_{ij^*} ilde{\mathcal{D}}_{
u} \phi^{*j} \chi^i \sigma^{\mu} ar{\sigma}^{
u} \psi_{n,\mu} \ &-rac{1}{\sqrt{2}M} \mathrm{e} g_{ij^*} ilde{\mathcal{D}}_{
u} \phi^i ar{\chi}^j ar{\sigma}^{\mu} \sigma^{
u} ar{\psi}_{n,\mu} \ &-rac{i}{2M} \mathrm{e} \left(\psi_{n,\mu} \sigma^{
u\lambda} \sigma^{\mu} \overline{\lambda}_{(a)} + \overline{\psi}_{n,\mu} ar{\sigma}^{
u\lambda} ar{\sigma}^{\mu} \lambda_{(a)}
ight) F_{
u\lambda}^{(a)}) \end{aligned}$$

Pour les masses des modes KK:

$$M_n = M_0 + \frac{n}{R}$$



Conclusions

Abondance des KK modes

$$\begin{array}{rcl} Y_{3/2}^{0} & \simeq & 1.9 \times 10^{-12} \\ & & \times \left(\frac{T_{R}}{10^{10} \; \mathrm{GeV}} \right) \left[1 + 0.045 \, \mathrm{ln} \left(\frac{T_{R}}{10^{10} \; \mathrm{GeV}} \right) \right] \\ & & \times \left[1 - 0.028 \, \mathrm{ln} \left(\frac{T_{R}}{10^{10} \; \mathrm{GeV}} \right) \right]. \end{array}$$

et

$$Y_{3/2}^k = Y_{3/2}^0$$
, pour $M^k \le T_R$ et $Y_{3/2}^k = 0$, pour $M^k > T_R$



Le modèle
Interactions entre KK gravitinos et MSSM
Abondance des KK modes
Neutralinos et désintégration des KK gravitinos
Valeurs numériques et équations de contrainte
Résultats

Temps de vie

Pour des gravitinos lourds (de masse supérieures à 10 TeV), désintégrations principales (Bh > 0.8) en paires squark-quark et gluon-gluino. En bout de chaîne, un gravitino donne au moins un neutralino. Vérification faite qu'il n'y en a pas moins : co-annihilation des neutralinos produits négligeable (voir partie résultats). Un gravitino produit un neutralino : contrainte minimale sur la dimension supplémentaire.

$$\tau_k = 1.4 \ 10^7 \times \left(\frac{M_k}{100 \text{GeV}}\right)^{-3} \text{ Sec}$$

On vérifie que $\rho_{rad}(T_k) \gg \rho_G(T_k)$ et donc que l'entropie n'augmente pas :

$$\frac{\pi^2}{30} T_k \gg \frac{2\pi}{45} M^k Y_{3/2}$$

La densité de matière noire est :

$$0.106 < \Omega h^2 < 0.123$$
, avec une valeur centrale de 0.114

• La densité thermique en fonction de la masse et de $x_f = m_{LSD}/T_f$:

$$\Omega_{th} h^2 = 3.61 \ 10^6 \ \frac{m_{lsp}}{1 \text{GeV}} \ x_f^2 \ e^{-x_f}$$

Neutralinos

On a deux contributions :

$$0.106 \le \Omega_{th} \ h^2 + \Delta \Omega \ h^2 \le 0.123$$

 Le dernier mode de gravitino n
 pris en compte se désintègre à T_f. On a :

$$\Delta\Omega \ h^2 = \frac{m_{lsp} \ s_0 \ h^2}{\rho_c} \ \sum_{k=0}^{k=\bar{n}} Y_{3/2}^k$$

Le modèle
Interactions entre KK gravitinos et MSSM
Abondance des KK modes
Neutralinos et désintégration des KK gravitinos
Valeurs numériques et équations de contrainte
Résultats

Valeurs numériques

On calcule la masse du mode 0 pour une désintégration à T = 1 MeV : $M_0 = 26.4 \text{TeV}$.

Cases	X _f	$T_f(GeV)$	$\Omega_{th} h^2$	$(\Delta\Omega_{th} h^2)_{min}$	$(\Delta\Omega_{th} h^2)_{max}$	<i>M</i> _n (GeV)
Case 1	28.78	4.17	0.114	-	0.009	9.84×10^{6}
Case 2	29.60	4.05	0.053	0.053	0.070	9.66×10^{6}
Case 3	30.42	3.94	0.025	0.081	0.098	9.48×10^{6}

TAB.: Les trois cas numériques pour $m_{lsp} = 120 \text{ GeV}$

Le modele
Interactions entre KK gravitinos et MSSM
Abondance des KK modes
Neutralinos et désintégration des KK gravitinos
Valeurs numériques et équations de contrainte
Résullats

Equations de contraintes

Premier cas :

$$T_R \geq M^{n-}$$

alors d'après la règle sur l'abondance $Y_{3/2}^k = Y_{3/2}^0$

Conclusions

On obtient :

$$\Delta\Omega \ h^2 = \frac{m_{lsp} \ (\bar{n} + 1) \, Y_{3/2}^0 \, s_0 \, h^2}{\rho_c}$$

Or

$$\bar{n} = \frac{M^{\bar{n}} - M^0}{R^{-1}}$$



Equation de contraintes

On obtient finalement :

$$\begin{split} R^{-1} &= \left(M^{\bar{n}} - M^{0}\right) \times \\ &\left(I \left[\Delta \Omega \ h^{2} \frac{\rho_{c}}{m_{ls\rho} \ s_{0} \ h^{2}} \ \frac{1}{1.9 \times 10^{-12} \times \frac{T_{R}}{10^{\bar{1}0}} \left[1 + 0.045 \ln \left(\frac{T_{R}}{10^{\bar{1}0}}\right)\right] \left[1 - 0.028 \ln \left(\frac{T_{R}}{10^{\bar{1}0}}\right)\right]}\right] - 1\right)^{-1} \end{split}$$

- Deuxième cas : $T_R < M^{\bar{n}}$: la masse du dernier mode pris en compte est donc d'après la règle sur l'abondance : T_R .
- Dans l'équation au-dessus , on remplace $M^{\bar{n}}$ par T_R .



Conclusions

Le modèle
Interactions entre KK gravitinos et MSSM
Abondance des KK modes
Neutralinos et désintégration des KK gravitinos
Valeurs numériques et équations de contrainte
Résultats

KK Gravitons

Masses:

$$m_k = \frac{k}{R}$$

Abondance :

$$Y_{m} = \frac{1485}{256\pi^{5} M g^{*1/2} g_{S}^{*}} m \int_{m/T_{R}}^{\infty} x^{3} K_{1}(x) dx$$

• Temps de vie :

$$\tau = 3.310 \times \frac{\pi \ M^2}{m^3} \text{ GeV}^{-1}$$



Le modèle
Interactions entre KK gravitinos et MSSM
Abondance des KK modes
Neutralinos et désintégration des KK gravitinos
Valeurs numériques et équations de contrainte
Résultats

KK gravitons

Densité :

$$\Omega h^2 \approx 5.52 \ 10^{-14} \frac{n(1+n)(1+2n)}{R^2}$$

• Pour $R^{-1} \ge 1$ TeV, on a vérifié que la BBN n'était pas perturbée avec les courbes fournies par Jedamzik (2006).

Le modèle
Interactions entre KK gravitinos et MSSM
Abondance des KK modes
Neutralinos et désintégration des KK gravitinos
Valeurs numériques et équations de contrainte
Résultats

Température de reheating maximum (cas $m_{LSP} = 120$ GeV)

cas 1	cas 2	cas 3	
1.45 10 ⁹ GeV	1.09 10 ¹⁰ GeV	1.52 10 ¹⁰ GeV	

TAB.: Température de reheating maximum autorisée

Cas 1. $m_{Lsp} = 120$ GeV

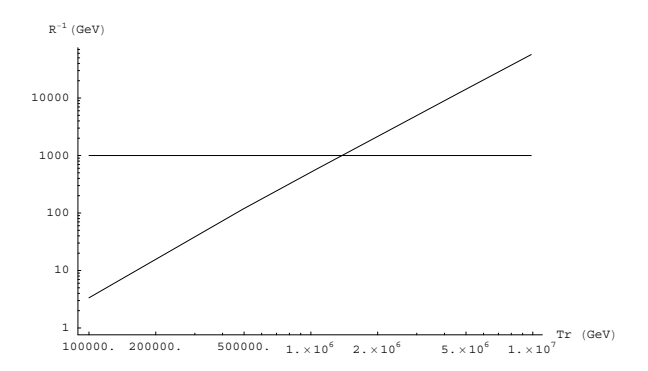


Fig.: Cas 1. T_R plus petit que 9.8 10^6 GeV. La zone exclue est sous la courbe diagonale et sous la droite $R^{-1} = 1$ TeV.

Cas 1. $m_{Lsp} = 120 \text{ GeV}$

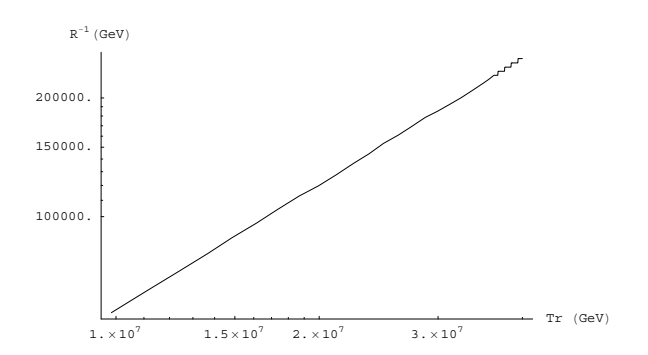


Fig.: Cas 1. 9.8 $10^6~GeV \le T_R \le 4~10^7~GeV$. La zone exclue est sous la courbe.

Cas 1. $m_{Lsp} = 120 \text{ GeV}$

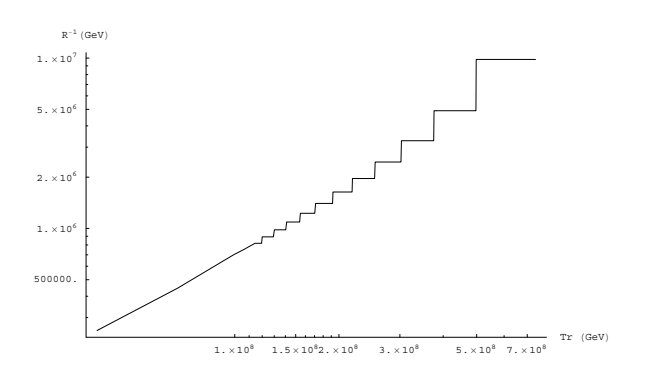


FIG.: Cas 1. 4 $10^7~GeV \le T_R \le 7.4~10^8~GeV$. La zone exclue est sous la courbe.

Cas 1. $m_{Lsp} = 200 \text{ GeV}$

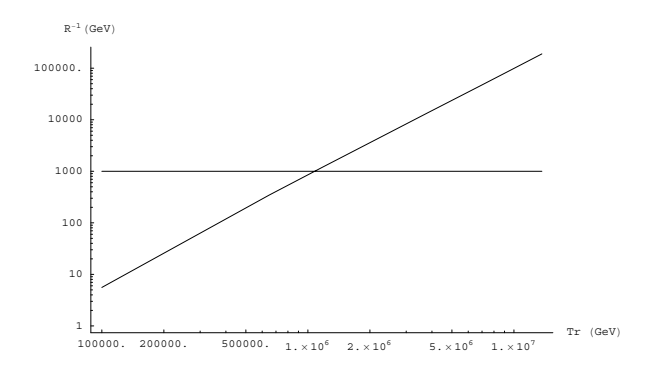


Fig.: Cas 1 pour $m_{lsp} = 200$ GeV. $T_R \le 1.4 \cdot 10^7$ GeV. La zone exclue est sous la courbe et sous la droite $R^{-1} = 1$ TeV.

Cas 2. $m_{Lsp} = 120 \text{ GeV}$

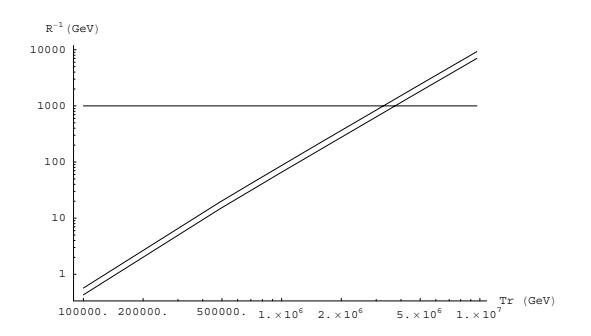


Fig.: Cas 2. T_R plus petit que 9.7 10^6 GeV. Seule la bande entre les deux diagonales est autorisée. Zone sous la droite $R^{-1} = 1$ TeV exclue.

Cas 2. $m_{Lsp} = 120 \text{ GeV}$

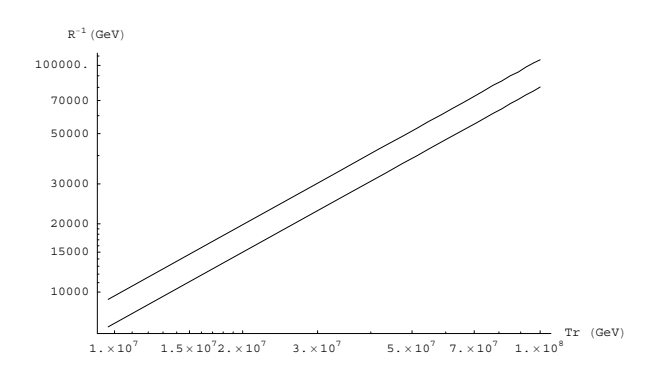


FIG.: Cas 2. 9.7 10^6 GeV $\leq T_R \leq 10^8$ GeV. Seule la bande entre les deux courbes est autorisée.

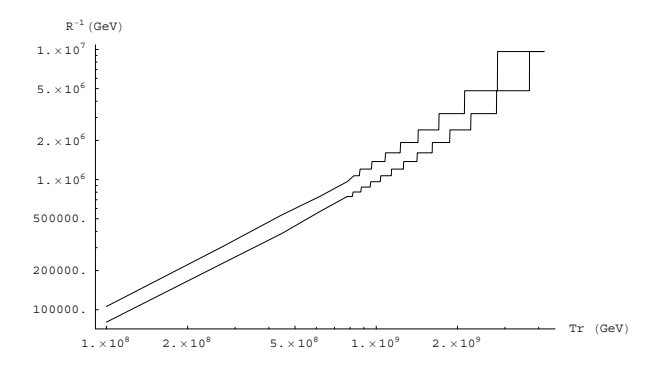


Fig.: Cas 2. 10^8 GeV $\leq T_R \leq 4.2$ 10^9 GeV. Seule la bande entre les deux courbes est autorisée.

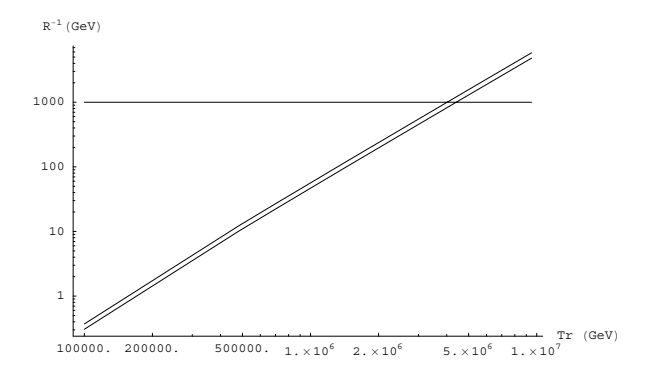


Fig.: Cas 3. T_R plus petit que 9.5 10^6 GeV. Seule la bande entre les deux diagonales est autorisée. La zone sous la droite $R^{-1} = 1$ TeV est exclue.



Autres modèles avec gravitino

- Intérêt majeur : le mélange matière noire tiède et matière noire froide
- Pourrait permettre une meilleure compréhension de la formation des grandes structures
- Premier modèle avec neutralino LSP: un gravitino lourd de masse > 30 TeV donne des neutralinos tièdes, en plus des neutralinos thermiques
- Deuxième modèle : dégénérescence de masse entre neutralino et gravitino.
- Troisième modèle : dégénérescence de masse entre gravitino et sneutrino.



Exemple: cas gravitino LSP et neutralino NLSP

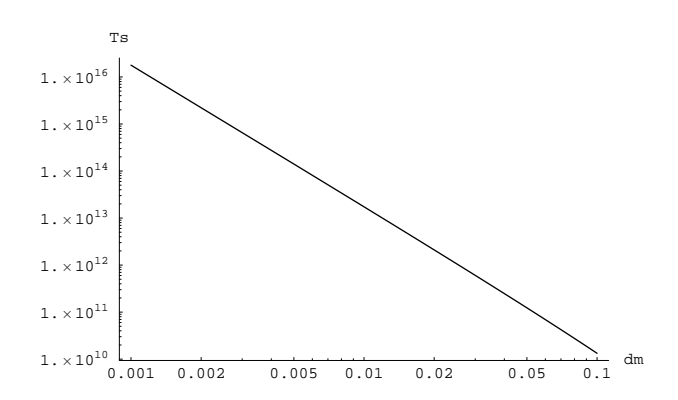


FIG.: $M_{grav} = 100 \text{ GeV}$ - durée de vie du NLSP



Exemple: cas gravitino LSP et neutralino NLSP

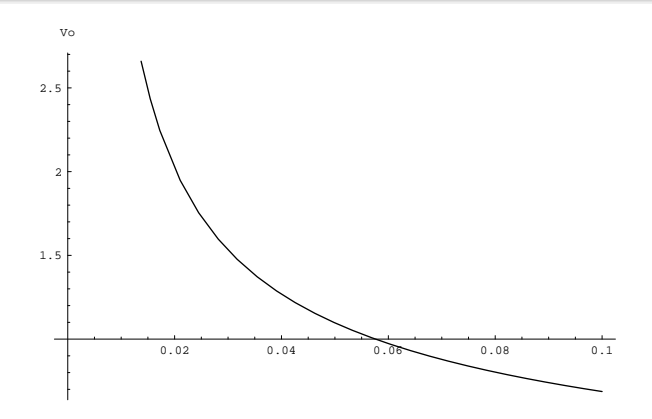


Fig.: Vitesse actuelle du LSP produit par désintégration



Exemple: cas gravitino LSP et sneutrino droit NLSP

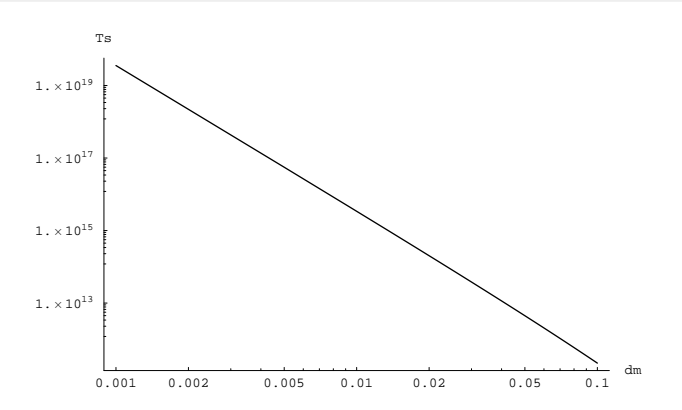


FIG.: $M_{qrav} = 100 \text{ GeV}$ - durée de vie du NLSP



Exemple: cas gravitino LSP et sneutrino droit NLSP

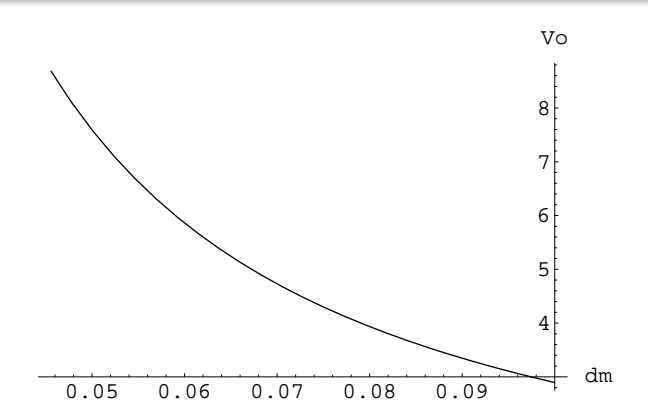


Fig.: Vitesse actuelle du LSP produit par désintégration



Premier modèle avec dimension suppl :

- Dans un modèle cosmologique cohérent avec des théories hautes énergies, on a montré qu'il existait des courbes de contraintes entre Rayon et T_R.
- Borne supérieure sur la dimension supplémentaire et possibilité de borne inférieure dans certains cas. Dans ces cas-là, borne inférieure sur T_R.
- Il semble proscrit d'observer la combinaison supergravité et extra-dimension au LHC sans détruire le modèle de leptogénèse thermique.
- possibilité de mélange matière noire froide et tiède.

Autres modèles présentés :

- Offrent le mélange matière noire froide plus tiède
- Intéressant pour la formation des structures



Cosmologie Supergravité et Gravitino Abondance primordiale des gravitinos Extra-dimension et Gravitino utres modèles avec gravitino sans dimension supplémentaire Conclusions

Extra-dimension? Supersymétrie? Higgs? Ou?.. Beaucoup de théories mais peu de données.. mais le LHC arrive!